

# 等离子体诊断方法-第二章：折射

本文相关代码与介绍可在[PlasmaDiagnostic/Interferometer at main · DMCXE/PlasmaDiagnostic \(github.com\)](https://github.com/DMCXE/PlasmaDiagnostic)中找到

## 写在前面 基本用法

计算文件为 `DataProcess.py`, 存在两个主要功能:

`SignalAnalysis` 构成了一个数据处理模块, 最大程度模拟了我想象中可以单纯凭借电路实现的功能。输入采样频率 $f_s$ , 目标中频 $f_m$ , 诊断信号, 对照信号, 可返回相位差等

```
class SignalAnalysis:
    def __init__(self, fs, fm_target, signal_plasma, signal_ref):...
```

`density_string_integral`构成了相位信息至密度信息的换算模块

```
def density_string_integral(phi, f=650*1e9):
    """
    计算弦密度积分
    """
    e = 1.60217662e-19
    m_e = 9.10938356e-31
    c = 299792458
    epsilon_0 = 8.854187817e-12
    return phi*np.pi*c*epsilon_0*m_e*f/(e**2)
```

以Shot#232094中sig1为例:

```
from DataProcess import SignalAnalysis, density_string_integral
SA = SignalAnalysis(
    fs = fs,
    fm_target = fm_target,
    signal_plasma = sig1,
    signal_ref = ref
)
phi = SA.phi
phi_fix = SA.phi #经过零点漂移矫正后的相位
ndl = density_string_integral
```

## 目录

### 等离子体诊断方法-第二章：折射

写在前面 基本用法

目录

#### 1 多道偏振干涉仪诊断系统的应用

1.1 弦密度积分推导

1.2 探测器信号的采集与处理

- 1.2.1 探测器采样信号的构成
- 1.2.2 相位的提取
  - 1.2.2.1 处理流程
  - 1.2.2.2 离散傅里叶变换
  - 1.2.2.3 中频提取
  - 1.2.2.4 离散傅里叶逆变换
  - 1.2.2.5 过零追踪鉴相器
  - 1.2.2.6 零漂补偿
- 1.2.3 测试集测试
- 1.3 实验数据的处理结果
  - Shot#232091
  - Shot#232092
  - Shot#232094
- 1.4 误差分析与遗留问题
- 2. Homodyne & Heterodyne
- 3. 推导柱对称中的散射

# 1 多道偏振干涉仪诊断系统的应用

## 1.1 弦密度积分推导

要在冷等离子体假设下的折射系数的Appleton-Hartree公式：

$$\mu^2 = 1 - \frac{X(1 - X)}{1 - X - \frac{1}{2}Y^2 \sin^2 \theta \pm [(\frac{1}{2}Y^2 \sin^2 \theta)^2 + (1 - X)^2 Y^2 \cos^2 \theta]^{1/2}}$$

其中,  $X \equiv \omega_{pe}^2/\omega^2$ ,  $Y \equiv \omega_{ce}/\omega$ ,  $\mu \equiv kc/\omega$

在托卡马克诊断时, 往往存在背景磁场, 且波矢  $\vec{k}$  与磁场  $B_0$  相互垂直。对于寻常波入射, 存在  $\vec{E} // \vec{B}_0$ , 此时  $Y = 0$ , 这时, 折射系数可以写为:

$$\mu^2 = 1 - X = 1 - \frac{\omega_{pe}^2}{\omega^2} = 1 - \frac{n_e}{n_c}$$

光束经过等离子体产生的相移变换表示为:

$$\phi_p = \int (k_{plasma} - k_0) dl$$

折射系数同样满足定义:

$$\mu \equiv \frac{kc}{\omega} = \frac{k}{k_0}$$

因此, 相移可以进一步的化简为:

$$\begin{aligned} \phi_p &= \int (k_{plasma} - k_0) dl = - \int \frac{\omega}{c} (1 - \mu) dl \\ &= - \frac{\omega}{c} \int (1 - (1 - \frac{n_e}{n_c})^{1/2}) dl \end{aligned}$$

考察  $(1 - n_e/n_c)^{1/2}$ , 当等离子体中电子密度  $n_e$  远远小于截止密度  $n_c$  时, 将此表达式应用泰勒展开有:

$$(1 - \frac{n_e}{n_c})^{1/2} = 1 - \frac{1}{2} \frac{n_e}{n_c} - \frac{1}{8} (\frac{n_e}{n_c})^2 + o(\dots)$$

截取到第二项，相移表达进一步简化为：

$$\phi_p = -\frac{\omega}{c} \int (1 - (1 - \frac{n_e}{n_c})^{1/2}) dl = -\frac{\omega}{2n_c c} \int n_e dl$$

截止密度 $n_c$ 表示为(即对应截止频率时等离子体的振荡频率)：

$$n_c = \frac{\varepsilon_0 m_e}{e^2} \omega^2 = \frac{\varepsilon_0 m_e}{e^2} f^2 [Hz] = \frac{\varepsilon_0 m_e c^2}{e^2} \lambda^{-2} [m]$$

移表达进一步简化为：

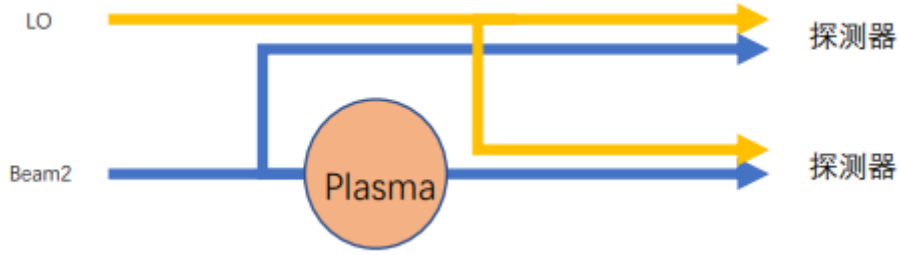
$$\phi_p = -\frac{\omega}{2n_c c} \int n_e dl = \frac{e^2}{\pi c \varepsilon_0 m_e} f^{-1} \int n_e dl$$

即得到了相位移与等离子体密度弦积分的关系。

## 1.2 探测器信号的采集与处理

### 1.2.1 探测器采样信号的构成

某干涉仪组成原理如下所示，是一个典型的外差干涉仪：



在经过等离子体诊断区域的Beam1信号 $E_1$ 和LO信号 $E_2$ 可以表示为：

$$\begin{aligned} E_1 &= A_1 \cos(\omega_1 t + \phi(t)) \\ E_2 &= A_2 \cos(\omega_2 t) \end{aligned}$$

未经过等离子体诊断区域的Beam1信号 $E_0$ 和LO信号 $E_2$ 可以表示为：

$$\begin{aligned} E_0 &= A_0 \cos(\omega_1 t) \\ E_2 &= A_2 \cos(\omega_2 t) \end{aligned}$$

在探测器上分别进行混频，有

$$\begin{aligned} \text{signal\_plasma} &= (E_1 + E_2)^2 = A_1^2 \cos^2(\omega_1 t + \phi) + A_2^2 \cos^2(\omega_2 t) \\ &\quad + A_1 A_2 \cos[(\omega_1 + \omega_2)t + \phi] + A_1 A_2 \cos[(\omega_1 - \omega_2)t + \phi] \\ &= \frac{1}{2}(A_1^2 + A_2^2) + \frac{1}{2} A_1^2 \cos(2\omega_1 t + 2\phi) + \frac{1}{2} A_2^2 \cos(2\omega_2 t) \\ &\quad + A_1 A_2 \cos[(\omega_1 + \omega_2)t + \phi] + A_1 A_2 \cos[(\omega_1 - \omega_2)t + \phi] \end{aligned}$$

$$\begin{aligned} \text{signal\_refer} &= (E_0 + E_2)^2 = A_0^2 \cos^2(\omega_1 t) + A_2^2 \cos^2(\omega_2 t) \\ &\quad + A_0 A_2 \cos[(\omega_1 + \omega_2)t] + A_0 A_2 \cos[(\omega_1 - \omega_2)t] \\ &= \frac{1}{2}(A_1^2 + A_2^2) + \frac{1}{2} A_1^2 \cos(2\omega_1 t) + \frac{1}{2} A_2^2 \cos(2\omega_2 t) \\ &\quad + A_1 A_2 \cos[(\omega_1 + \omega_2)t] + A_1 A_2 \cos[(\omega_1 - \omega_2)t] \end{aligned}$$

对于此两束信号，可取出中频角速度为 $\omega_m = \omega_1 - \omega_2$ 。在实际的诊断设备中，LO源与Beam源的频率可达到数百GHz，而两者的差频（中频）往往是数MHz，对探测器信号采样频率往往为数十MHz。

由Nyquist采样定理：

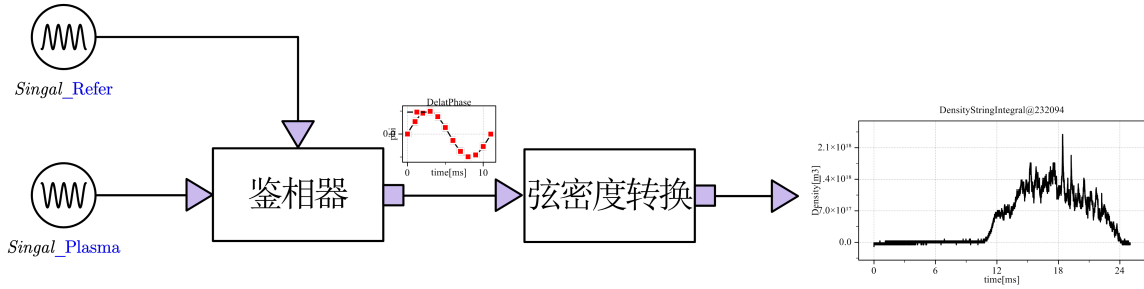
为了不失真地恢复模拟信号，采样频率应该不小于模拟信号频谱中最高频率的两倍。

因此在该混频信号中，可达到数百GHz的LO源与Beam源的频率在数十MHz的采样频率下，完全无法满足Nyquist定理，因而对应的信号全部失真。即原始混频信号中角速度为 $\omega_1, \omega_2, \omega_1 + \omega_2$ 的信号将失真，而信号差频（中频）对应的角速度分量 $\omega_m = \omega_1 - \omega_2$ 由于只有数MHz，相对采样信号而言满足Nyquist定理，能够被不失真的被采集出来。

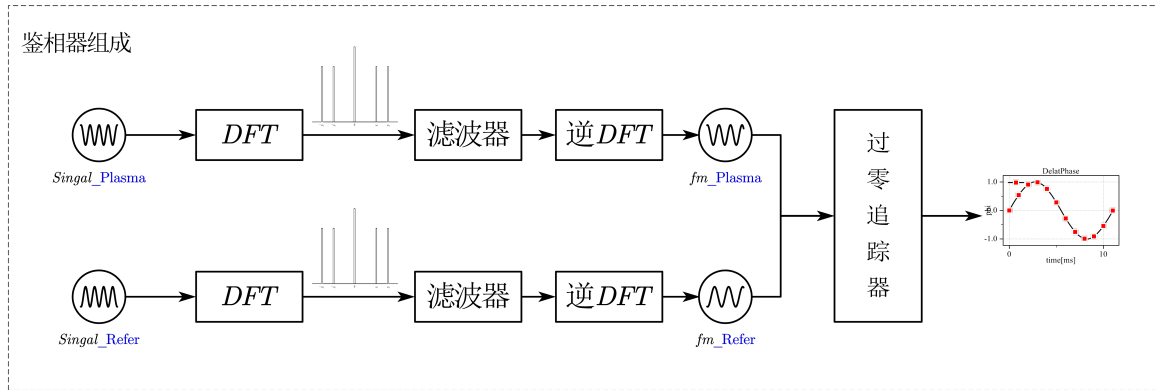
## 1.2.2 相位的提取

### 1.2.2.1 处理流程

整体流程为



鉴相器组成为



### 1.2.2.2 离散傅里叶变换

对于实信号 $x(t)$ 的采样信号 $x[n]$ ，通过离散傅里叶变换DFT可以变换为 $X[t]$ ：

$$X[k] = \sum_{n=0}^{N-1} x[n] e^{-j(2\pi/N)kn}, (0 \leq k \leq N-1)$$

对应的离散傅里叶逆变换为：

$$x[n] = \frac{1}{N} \sum_{k=0}^{N-1} X[k] e^{j(2\pi/N)kn}, (0 \leq n \leq N-1)$$

需要注意的是：

1. 变换后序列 $X[k]$ 是复数序列，前半部分数据与后半部分数据共轭对称
2. 变换后序列 $X[k]$ 中k点的含义是： $f = kf_s/N$ ，即序列索引对应采样频率的 $1/N$

这也说明，如果需要通过离散傅里叶变换对频谱进行处理，最好在处理时同时考虑共轭频率部分对原始信号的贡献。

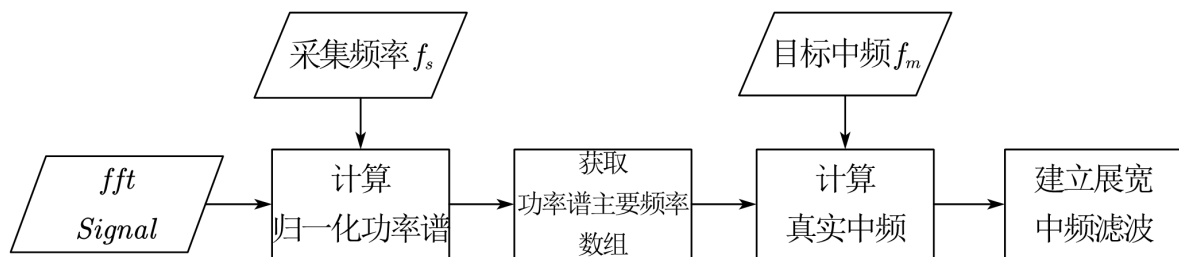
在python中，这一步可以通过使用 `np.fft` 包中的 `fft()` 函数进行快速傅里叶变换（FFT）

```
fft_signala = np.fft.fft(signal)
```

### 1.2.2.3 中频提取

对原始信号进行带通滤波，在中频 $f_m$ 左右设置一个带通滤波器，提取中频 $f_m$ 范围内的主要频率，过滤掉高频与基频范围内的噪音。

在对于本数据的处理中，由于受到多普勒效应等或源信号频率误差，会导致实际中频并不严格的处于2.125Mhz，由于缺乏对实际物理图像的了解，导致中频会产生一点的偏差，在充分的了解频移特性与范围前，尚且无法很好的确定带通滤波器的范围。在此采用了一种伪带通滤波：先找到真实的中频，再依据一定展宽提取。



在python中提供了多种便于计算处理DFT的工具：

根据 `np.fft.fftfreq()` 可以方便地获得每个索引对应的频率，由此即可计算归一化功率谱

```
def get_power_spectrum(fs, fft_signal):  
    #通过fft获得结果以及频率分布  
    frequencies = np.fft.fftfreq(len(fft_signal), 1/fs)  
    #计算不同频率分量的功率谱密度  
    power_spectrum = np.abs(fft_signal)**2  
    #计算总功率  
    total_power = np.sum(power_spectrum)  
    #计算每个频率的占比  
    power_percentages = (power_spectrum/total_power)*100  
    #归一化  
    power_percentages = power_percentages/np.max(power_percentages)  
    return frequencies, power_percentages
```

在归一化功率谱中，先选出占有主要功率强度的频率，通过与目标中频距离确定真实的中频位置：

```
#确定主要功率强度  
def get_main_frequencies():...  
    return main_frequencies  
#获得真实中频  
def get_fm_real(fm_target, freq_main):...  
    return fm_real
```

构建带通滤波器，获得中频分量

```
freq_range = range * fm_real  
return filtered_fft
```

### 1.2.2.4 离散傅里叶逆变换

对于滤波后产生的频谱，进行离散傅里叶逆变换，即可获得中频信号

```
fm_signal = np.fft.ifft(filtered_fft)
```

### 1.2.2.5 过零追踪鉴相器

当对比信号和实际信号的中频被提取出来后，即可通过追踪在每个采样时间内正向通过零点的时间获得相位差。两信号正向过零的时间为：

$$\begin{aligned}\omega_m t_R &= 2\pi m_R + \frac{3}{2}\pi \\ \omega_m t_S + \phi_p &= 2\pi m_S + \frac{3}{2}\pi\end{aligned}$$

相移可以表示为：

$$\phi_p = \omega_m(t_R - t_S) + 2\pi(m_S - m_R)$$

在粗略的认为相移不会超过 $2\pi$ 的前提下，相移可以简写为

$$\phi_p = \omega_m(t_R - t_S)$$

正向过零点追踪能够被简写为：

```
def zero_detector(fs, signal):  
    time_array = np.arange(0, self.time_tot, 1/fs)  
    #如果认为信号的相位差不会大于2pi，那么可以简化上述过程  
    zero_crossing = np.where(np.diff(np.sign(signal))>0)[0]  
    t = np.array([time_array[tt] for tt in zero_crossing])  
    return t
```

追踪出零点，即可给出在每个采样时间对应的相位差：

```
def phase_detector(fs, fm, signal_plasma, signal_ref):  
    t_p = self.zero_detector(fs, signal_plasma)  
    t_r = self.zero_detector(fs, signal_ref)  
    return (t_r - t_p) * 2 * np.pi * fm
```

### 1.2.2.6 零漂补偿

由于诊断系统在空间中具有不对称性，信号采集器自身也可能存在温度部分不均等问题，导致诊断系统整体产生零点漂移，表现为在系统中为进行放电时，仍然能够测出相位差。因此需要对零点漂移进行修正。这里非常简单的考虑将相位差整体平移消除直流分量。

```
def phase_zero_fix(self, phi):  
    #对相位做零漂补偿  
    phi_0 = phi[:int(0.1*len(phi))]  
    phi_average = np.sum(phi_0)/len(phi_0)  
    return phi - phi_average
```

### 1.2.3 测试集测试

为了确定上述算法的可用性，这里通过一个示例：对于模拟数据

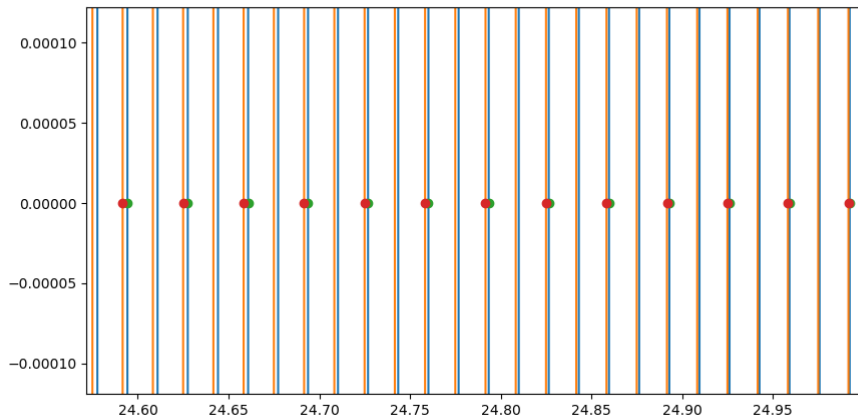
$$f(t) = \cos(2\pi \cdot 10 \cdot t + \sin(t)) + \cos(2\pi \cdot 30 \cdot t + \sin(t)) + \cos(2\pi \cdot 1000 \cdot t) + \text{noise}(t)$$

对应参考频率信号为：

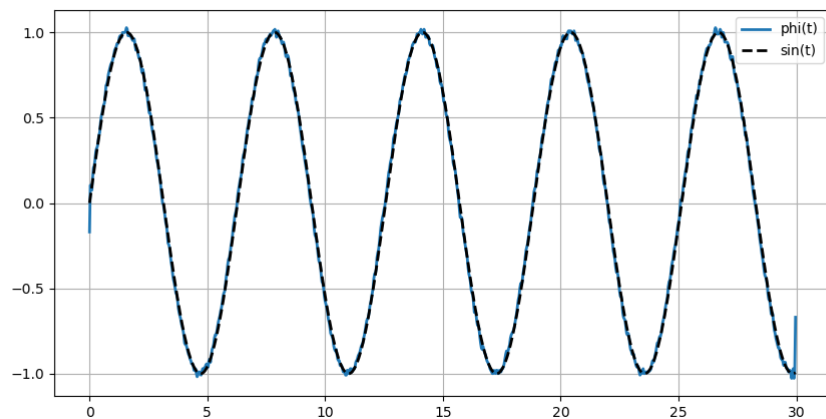
$$f(t) = \cos(2\pi \cdot 30 \cdot t)$$

采样频率为20KHz, 信号持续时间30秒，目标中频频率为30Hz。

经过上述流程，可以提取出中频信号与过零点：



并可以正确的提取出中频信号的相位差 $\sin(t)$ ：



验证了算法的正确性。

## 1.3 实验数据的处理结果

实验数据共有三组，分别为Shot#232091、Shot#232092和Shot#232094，每个数据文件中包含的信号种类如下图所示

诊断内容	信号名	采样率	单位
参考道信号	ref	60MHz	mv
第1道信号	sig1	60MHz	mv
第2道信号	sig2	60MHz	mv
第3道信号	sig3	60MHz	mv
等离子体电流_时间	t_ip1	250KHz	ms
等离子体电流	ip1	250KHz	A

数据处理时，首先指定文件(以sig1为例)：

```
import scipy.io as sio
shot = '232094'
data = sio.loadmat(shot+'.mat')
Ip =data['ip1'].reshape(1,-1)[0]
t_Ip = data['t_ip1'].reshape(1,-1)[0]
sig1 = data['sig1'].reshape(1,-1)[0]
```

指定采集频率、目标中频

```
fs      = 60      *1e6
fm_target = 2.125*1e6
```

将数据输入鉴相器

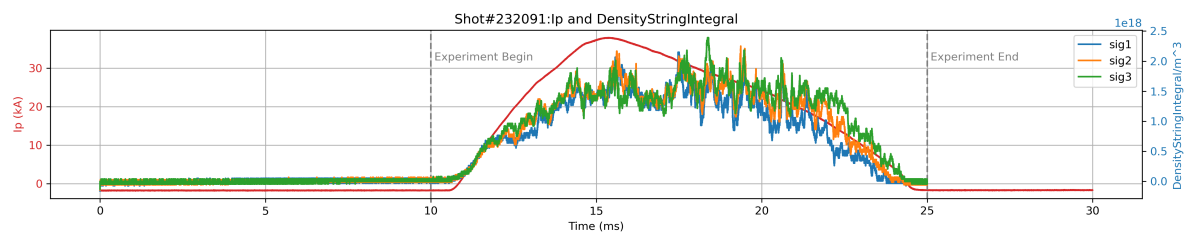
```
SA = SignalAnalysis(
    fs      = fs,
    fm_target = fm_target,
    signal_plasma = sig1,
    signal_ref    = ref
)
```

将数据输入弦密度积分计算器

```
phi = SA.phi_fix          #获取零点漂移修正后的相位差数据
dsi = density_string_integral(phi)  #计算出弦密度积分
```

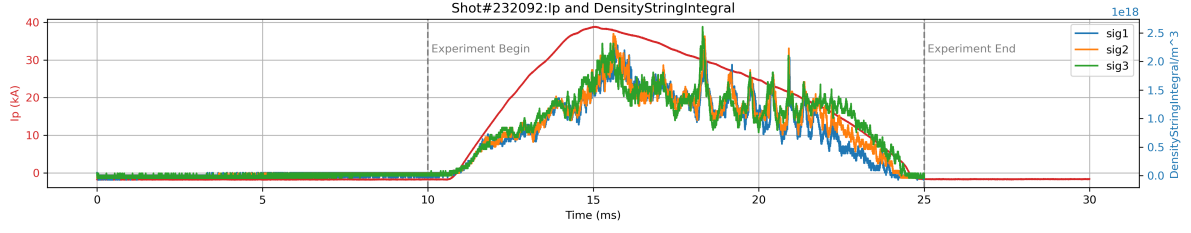
最后，能够得出Shot#232091、Shot#232091和Shot#232091的计算数据

Shot#232091

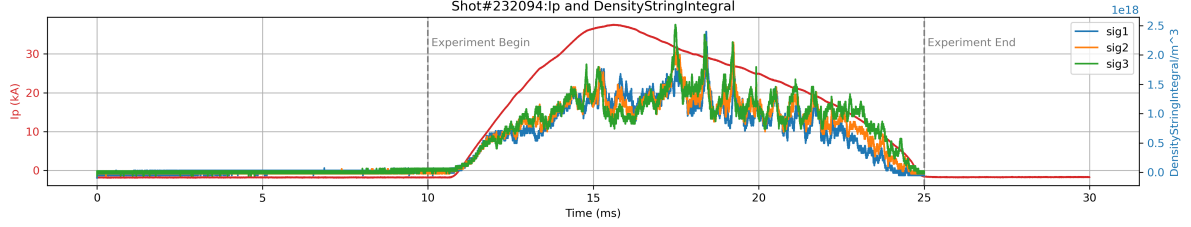




## Shot#232092



## Shot#232094



### 1.4 误差分析与遗留问题

1. 在消除零点漂移的时候，采用的方法过于简单，不能产生很好的效果
2. 实际上，注意到三炮数据在电流下降段，会出现多个密度峰值，在这些峰值处，实际对应的相位差大于  $2\pi$ ，实际上无法使用之前我们假设的相位差小于  $2\pi$  的计算假设。但是如果归到  $[0, 2\pi]$  中，这些峰值又会变成瞬时的第密度甚至零密度。如何解释这些数据需要进一步讨论。
3. 本文数据处理的前提是：尽量模仿能够在FPGA或片上系统实现的信号处理方式。存在一些更先进的算法，例如Hilbert变换、EMD经验模态分解、小波变换等，具有很大的分析上述数据与解释的空间和准确性。为了更好的处理这些数据、获得更丰富的物理结果，希望能够在未来的工作中进一步发展。

## 2. Homodyne & Heterodyne

无论是零差干涉仪还是外差干涉仪，两臂信号混合之后均会产生两臂频率相加项和两臂频率相减项，主要关心频率相减项  $\omega_m = \omega_1 - \omega_2$ .

$$\begin{aligned}\text{signal\_plasma} &= (E_1 + E_2)^2 = A_1^2 \cos^2(\omega_1 t + \phi) + A_2^2 \cos^2(\omega_2 t) \\ &\quad + A_1 A_2 \cos[(\omega_1 + \omega_2)t + \phi] + A_1 A_2 \cos[(\omega_1 - \omega_2)t + \phi] \\ &= \frac{1}{2}(A_1^2 + A_2^2) + \frac{1}{2}A_1^2 \cos(2\omega_1 t + 2\phi) + \frac{1}{2}A_2^2 \cos(2\omega_2 t) \\ &\quad + A_1 A_2 \cos[(\omega_1 + \omega_2)t + \phi] + A_1 A_2 \cos[(\omega_1 - \omega_2)t + \phi]\end{aligned}$$

$$\begin{aligned}\text{signal\_refer} &= (E_0 + E_2)^2 = A_0^2 \cos^2(\omega_1 t) + A_2^2 \cos^2(\omega_2 t) \\ &\quad + A_0 A_2 \cos[(\omega_1 + \omega_2)t] + A_0 A_2 \cos[(\omega_1 - \omega_2)t] \\ &= \frac{1}{2}(A_1^2 + A_2^2) + \frac{1}{2}A_1^2 \cos(2\omega_1 t) + \frac{1}{2}A_2^2 \cos(2\omega_2 t) \\ &\quad + A_1 A_2 \cos[(\omega_1 + \omega_2)t] + A_1 A_2 \cos[(\omega_1 - \omega_2)t]\end{aligned}$$

#### 零差探测 (Homodyne Detection)

当  $\omega_m \ll \omega_1, \omega_2$  时，即  $\omega_m = 0$ ，对应的探测技术即为零差探测技术。

经过等离子体的诊断信号对应有表达式：

$$\begin{aligned} \text{signal\_plasma} = (E_1 + E_2)^2 = & \frac{1}{2}(A_1^2 + A_2^2) + \frac{1}{2}A_1^2 \cos(2\omega_1 t + 2\phi) + \frac{1}{2}A_2^2 \cos(2\omega_2 t) \\ & + A_1 A_2 \cos[(\omega_1 + \omega_2)t + \phi] + A_1 A_2 \cos(\phi) \end{aligned}$$

该信号的强度  $I$  主要贡献项为:

$$I_{\text{plasma}} \propto \frac{1}{2}(A_1^2 + 2A_1 A_2 \cos(\phi) + A_2^2)$$

对于对比信号

$$\begin{aligned} \text{signal\_refer} = (E_0 + E_2)^2 = & \frac{1}{2}(A_1^2 + A_2^2) + \frac{1}{2}A_1^2 \cos(2\omega_1 t) + \frac{1}{2}A_2^2 \cos(2\omega_2 t) \\ & + A_1 A_2 \cos[(\omega_1 + \omega_2)t] + A_1 A_2 \cos(0) \end{aligned}$$

该信号的强度  $I$  主要贡献项为:

$$I_{\text{refer}} \propto \frac{1}{2}(A_1^2 + 2A_1 A_2 + A_2^2) = \frac{1}{2}(A_1 + A_2)^2$$

主要能够通过接受信号的强度判断出判断出相位变换。但是由于强度项具有平方特征，因此只能得到相位变化的绝对值，无法通过强度判断相位是正向变换还是反向变换，也就无法直接判断出等离子体弦密度积分是增长还是下降。

### 外差探测 (Heterodyne Detection)

当  $\omega_m \neq 0$ , 对应的探测技术即为外差探测技术。当  $\omega_1, \omega_2$  远远大于采样频率, 而  $\omega_m$  相比于  $\omega_1, \omega_2$  较小, 且相对于采样频率而言能够满足Nyquist采样定理 (采样频率大于  $f_m$  两倍), 此时就能够将混杂在信号中频率为  $f_m$  的分量采集出来。即得到:

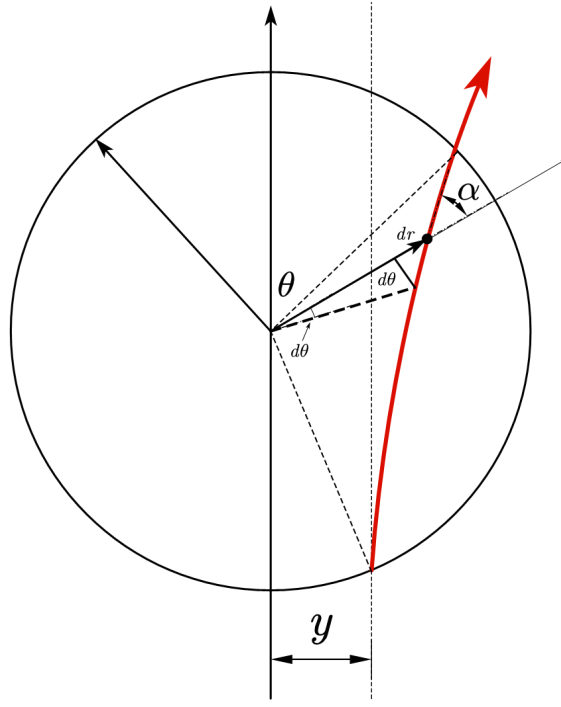
$$\begin{aligned} \text{signal\_plasma} &= A_1 A_2 \cos[(\omega_1 - \omega_2)t + \phi] \\ \text{signal\_referen} &= A_1 A_2 \cos[(\omega_1 - \omega_2)t] \end{aligned}$$

此时可以通过比较两个信号相位的相位差直接获得相位变化, 且能够反应相位的相对变化, 可以分辨出相位信号是正向的还是逆向的。即能够判断出等离子体弦密度积分是增长还是下降的。同时, 外差探测不需要严格的保证两个源频率相同, 只需要保证源本身输出频率是稳定的。同样的, 如果只考虑相对相位的变化, 通过合理的布置可以使其具有抗环境干扰能力, 起到类似于差分补偿电路的作用。

## 3. 推导柱对称中的散射

### #存在大量问题, 还需要进一步修改

Consider a beam propagating along a chord of a refractive cylinder at a distance  $y$  from the axis. Suppose the cylinder has a refractive index  $N(r)$ , where  $r$  is the radius. Obtain a general equation for the angular deviation of the beam  $\theta$  due to refraction when  $\theta r \ll y$  so that the chord can be approximated as straight. In the case where  $\omega \gg \omega_p$  and  $n = n_o(1 - r^2/a^2)$ , calculate the value of  $y$  at which  $\theta$  is greatest and prove that this maximum  $\theta$  is  $n_o/n_c$



光线在介质中传播常见的方程形式为：

$$\nabla n = \frac{d}{ds} \left( n \frac{dr}{ds} \right)$$

以圆柱圆截面圆心为原点建立极坐标系，由圆的几何特性易得，射线方向与法线的夹角始终等于射线方向与径向方向的夹角。由射线折射的斯涅尔定律：

$$n_1 \sin(\theta_1) = n_2 \sin(\theta_2)$$

在球对称坐标系中，根据传播方程可以推出矢积关系：

$$r \times \frac{dr}{d\eta} = \text{const}$$

其中， $\eta$  为路径L的弧长S，该方程说明了光线始终在这个平面内传播，标量形式满足：

$$N(r) \cdot r \cdot \sin(\alpha) = \text{const}$$

其中， $\alpha$  为射线方向与径向的夹角。在光线入射边界处， $N(R) = 1$ ， $R \sin(\alpha) = y$ ，则常数即为

$$N(r) \cdot r \cdot \sin(\alpha) = y$$

根据光线运动的几何关系，可以得到

$$\left( \frac{r \cdot d\theta}{dr} \right)^2 = \tan^2(\alpha)$$

与折射定律联立，可以得到

$$\left( \frac{r \cdot d\theta}{dr} \right)^2 = \frac{1}{N^2(r) \cdot r^2 / y^2 - 1}$$

对偏转角进行积分，其中  $r_0$  是射线上距离原点最近的

$$\theta(y) = \pi - 2 \int_{r_0}^{\infty} \left| \frac{d\theta}{dr} \right| dr = \pi - 2 \int_{r_0}^{\infty} (N^2(r) r^4 y^{-2} - r^2)^{-1/2} dr$$

折射率与等离子体密度直接具有关系式：

$$N(r) = (1 - \frac{n_e}{n_c})^{1/2}$$

当 $n_e = n_0(1 - r^2/a^2)$ 时, 有

$$N(r) = \frac{r}{a}$$

因此 $\theta(y)$ 的表达式进一步写为

$$\theta(y) = \sin^{-1} \frac{V_0 \left[ (\frac{y}{a})^2 - (\frac{y}{a})^4 \right]^{1/2}}{\left[ V_0 (\frac{y}{a})^2 + (\frac{1-V_0}{2})^2 \right]^{1/2}}$$

其中,  $V_0 = n_0/n_c$ 。对上式求解, 可以得到对于 $\theta$ 最大的值为 $V_0$